





# GW241011 E GW241110: UM PAR DE FUSÕES DE BURACOS NEGROS DE MASSAS DISTINTAS E EM RÁPIDA ROTAÇÃO DETETADAS ATRAVÉS DE ONDAS GRAVITACIONAIS

Durante os últimos meses de 2024, a <u>colaboração LIGO-Virgo-KAGRA (LVK)</u> detetou GW241011 e GW241110: dois eventos de <u>ondas gravitacionais</u> notavelmente semelhantes (e não apenas nos nomes). O primeiro do par, GW241011, foi detetado a 11 de outubro de 2024, às 23:38:34 UTC. Já GW241110 foi observado quase exatamente um mês depois, a 10 de novembro, às 12:41:23 UTC. Ambos os eventos correspondem a <u>binários de buracos negros</u> em rápida <u>rotação</u>, e em ambos os casos os buracos negros têm massas distintas. Estas propriedades têm implicações importantes para a nossa compreensão da formação e evolução de binários de buracos negros, bem como para diversas áreas da física fundamental.

### **DETEÇÃO DOS SINAIS**

Os detetores LIGO e Virgo identificaram ambos os eventos durante a segunda parte do quarto período de observação LIGO-Virgo-KAGRA (O4b). A **Figura 1** mostra a amplitude dos dados registados ao longo do tempo para esses eventos.

O evento GW241011 destacou-se de imediato, elevando-se muito acima do <u>ruído</u> típico em ambos os detetores. No <u>LIGO Hanford</u>, o sinal foi cerca de 35 vezes mais forte do que o ruído de fundo, enquanto o <u>Virgo</u> o detetou com uma intensidade aproximadamente 9 vezes superior ao nível de ruído. O <u>LIGO Livingston</u> não estava a operar nesse momento. Usando algoritmos de pesquisa avançados e técnicas estatísticas, verificámos que a probabilidade de um ruído aleatório imitar este sinal é inferior a uma vez em 10<sup>26</sup> anos, muito superior à <u>idade do Universo</u>.

GW241110 foi detetado um mês depois, e desta vez todos os três detetores estavam em funcionamento. Embora o sinal tenha sido mais fraco do que o de GW241011, foi claramente visível em ambos os instrumentos LIGO, com o Virgo a registar um sinal mais ténue. O movimento do solo no detetor Livingston estava em níveis elevados, resultando em algum ruído de baixa frequência; no entanto, isso não teve impacto significativo na deteção. Após uma análise rigorosa, estimámos que a probabilidade de este sinal ter sido causado por ruído aleatório é inferior a uma vez a cada 1500 anos.

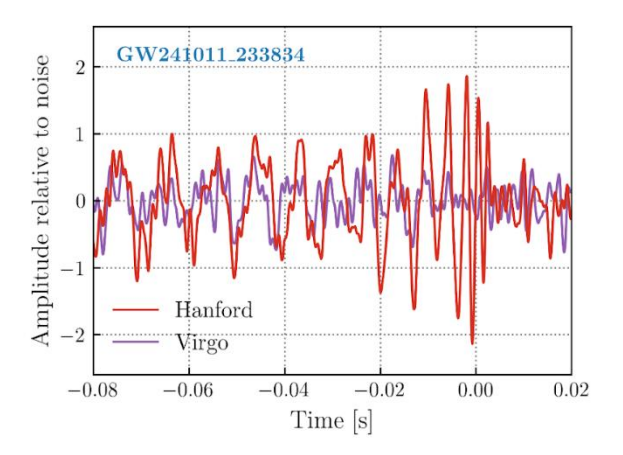
### **PARA SABER MAIS:**

Visita as nossas www.ligo.org www.virgo-gw.eu

páginas web:

gwcenter.icrr.u-tokyo.ac.jp/en/





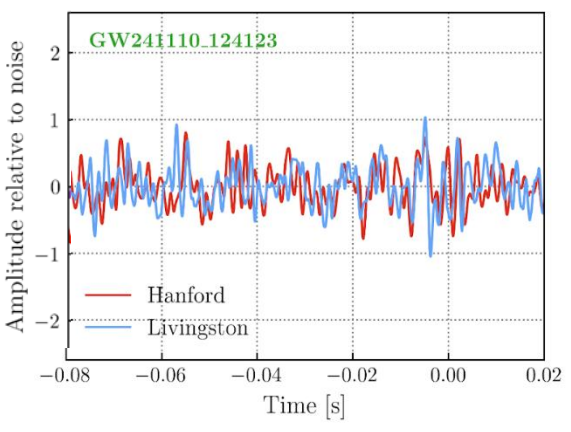


Figura 1: Os painéis mostram a amplitude dos sinais em função do tempo, combinando as observações dos detetores LIGO Hanford, LIGO Livingston e Virgo, para os eventos GW241011 (painel superior) e GW241110 (painel inferior). O instante da fusão dos eventos corresponde a Tempo = 0.

### O QUE ORIGINOU ESTES SINAIS?

Cada evento resultou da violenta fusão de dois <u>buracos negros</u>. O sinal GW241011 foi produzido pela colisão de dois buracos negros com massas de aproximadamente 20 e 6 vezes a <u>massa do Sol</u>, enquanto os buracos negros em GW241110 tinham cerca de 17 e 8 massas solares — uma semelhança impressionante! (Ver a **Figura 2**, painel inferior.) Ambos estavam também a rodar rapidamente, tendo o spin do GW241011 sido medido com grande precisão. (Ver a **Figura 2**, painel superior.)

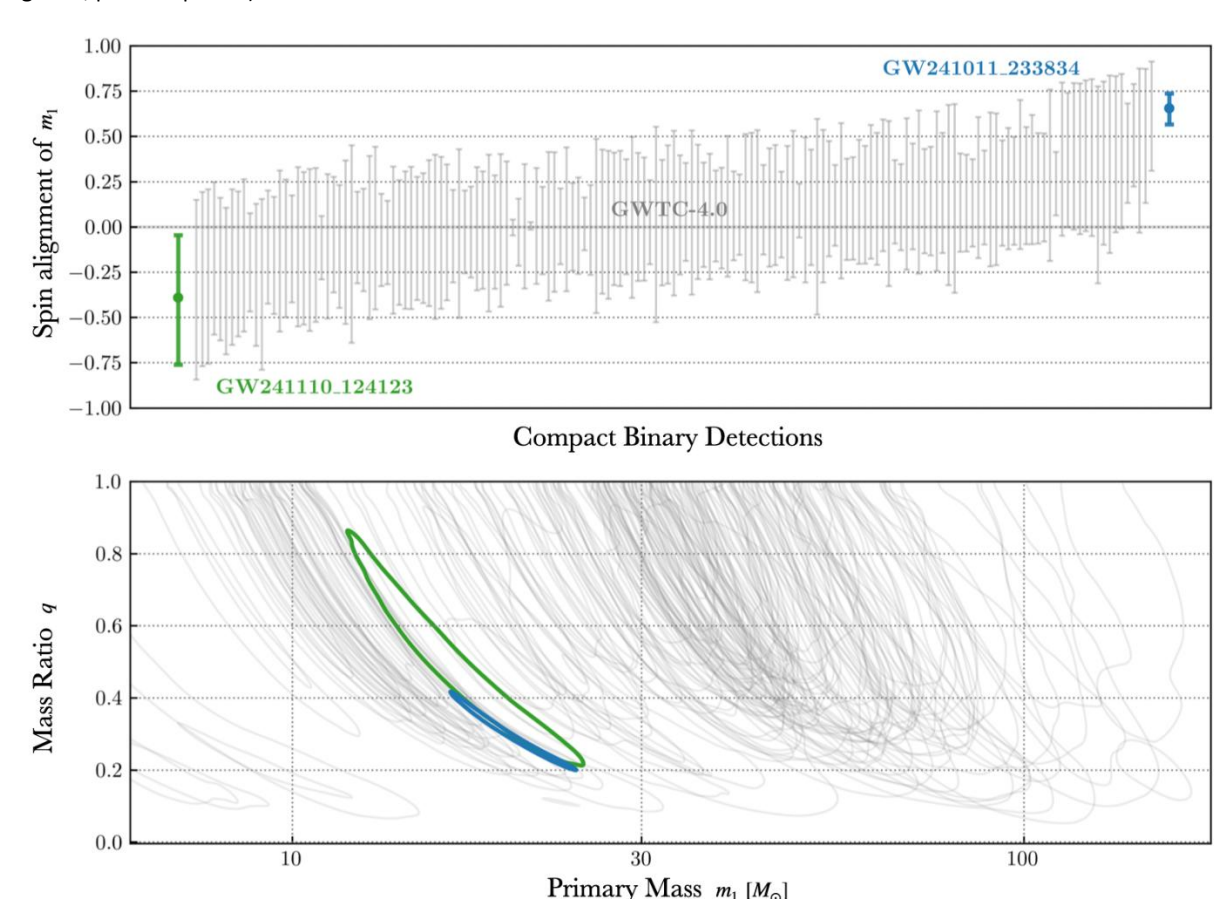


Figura 2: (Adaptada da Figura 1 da nossa publicação.) O painel superior mostra todos os eventos do catálogo mais recentemente publicado pela colaboração LVK, GWTC-4, e os nossos dois novos eventos GW241011 e GW241110, ordenados pelo spin primário projetado na direção do spin do plano orbital — ou seja, quão alinhada está a direção de rotação do buraco negro primário com a direção da órbita do sistema binário. Valores maiores que zero indicam que o buraco negro está alinhado com o spin da órbita, enquanto valores menores que zero indicam que o sistema está anti-alinhado. O painel inferior mostra a distribuição da massa primária (a massa do buraco negro maior) em massas solares e o guociente de massas do par de buracos negros para todos os eventos do GWTC-4, incluindo os nossos novos eventos.

# A EVOLUÇÃO CONTADA PELOS SPINS

Estes dois eventos partilham algumas características interessantes: em cada par, pudemos medir spin do buraco negro mais massivo (chamado de buraco negro primário) com precisão. As orientações dos spins dos dois buracos negros primários também não estavam perfeitamente alinhadas com as suas órbitas, e em cada par um dos buracos negros tinha aproximadamente o dobro da massa do outro. Estes indícios sugerem que o buraco negro primário em cada par poderá ter resultado de uma fusão anterior de buracos negros — tornando-o o que chamamos de buraco negro de "segunda geração" (ver a **Figura 3**). Este cenário é conhecido como **fusão hierárquica** e aponta para a possibilidade de que estes sistemas se tenham formado em ambientes densos, como <u>aglomerados estelares</u>, onde os buracos negros têm maior probabilidade de se encontrar e fundir repetidamente. No entanto, não podemos excluir o cenário alternativo de que ambos os sistemas resultaram da evolução de um par de estrelas isoladas.

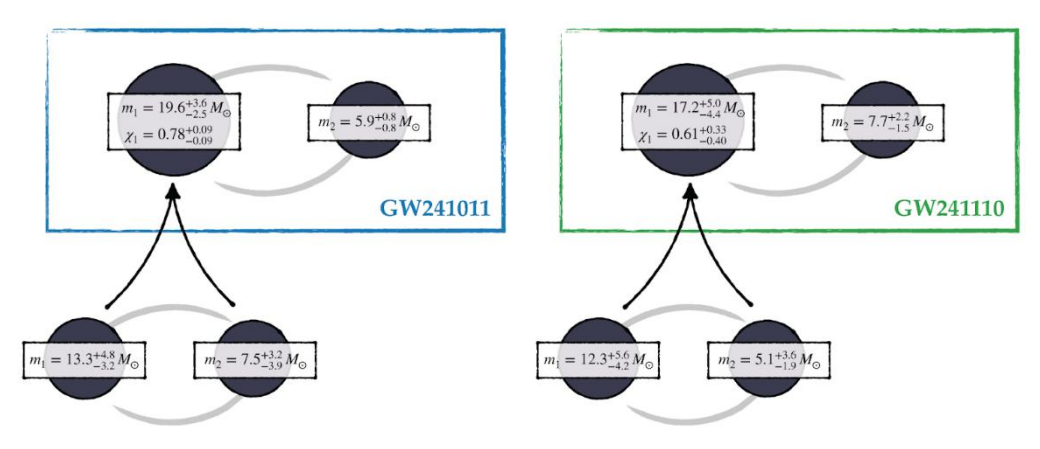


Figura 3: (Adaptada da Figura 7 da nossa publicação.) É mostrado o par de buracos negros em cada um dos eventos GW241011 e GW241110, juntamente com os possíveis antecessores do buraco negro primário de cada par. A massa estimada, em unidades de massas solares, e a respetiva incerteza são indicadas para cada buraco negro. Também é mostrado o spin medido, χ, do buraco negro primário de cada par.

## IMPLICAÇÕES PARA A FÍSICA FUNDAMENTAL

A medição do spin do buraco negro primário de GW241011, realizada com notável precisão e confiança, permitiu-nos testar uma previsão chave da <u>teoria da relatividade geral de Einstein</u> conhecida como o **momento quadrupolar induzido pelo spin** do buraco negro. Este efeito descreve como a rotação rápida distorce ligeiramente a forma de um buraco negro e altera as ondas gravitacionais que ele emite. Ao analisar cuidadosamente o sinal do GW241011 (ver a **Figura 4**), verificámos a previsão de Einstein sobre este efeito com uma precisão sem precedentes (sim, ele estava certo mais uma vez!), impondo as restrições mais fortes até à data sobre este aspeto dos buracos negros em rotação.

Buracos negros em rotação, como os buracos negros primários de GW241011 e GW241110, permitem-nos também testar a existência de novas partículas ainda por descobrir. Algumas teorias preveem que bosões ultraleves (candidatos a partículas de "matéria escura", muito mais leves do que qualquer partícula do Modelo Padrão da física de partículas) poderiam, ao longo do tempo, "extrair" spin dos buracos negros. Se tais partículas existissem dentro de uma certa faixa de massas e se encontrassem em nuvens à volta dos buracos negros primários de GW241011 e GW241110, teriam feito com que a rotação destes buracos negros diminuísse muito antes da fusão. Como ambos os buracos negros primários continuam a girar rapidamente, esta observação exclui uma ampla gama de massas possíveis para estes bosões, tornando estes eventos poderosos instrumentos para testar novas ideias em física.

### **CONCLUSÃO**

A deteção de GW241011 e GW241110 destaca o notável progresso da astronomia de ondas gravitacionais na revelação da vida oculta dos buracos negros em fusão. Ambos os sistemas apontam para a possibilidade de buracos negros de "segunda geração" formados em ambientes densos, onde fusões podem repetidamente. Além disso, a medição sem precedentes dos spins e dos multipolos de ordem superior com GW241011 permitiu testar a relatividade geral em condições extremas, com os nossos resultados a não mostrarem desvios face às previsões de Einstein. Os conhecimentos que adquirimos com cada deteção ajudam-nos a montar o grande puzzle do Universo, lembrando-nos que cada evento é não apenas uma descoberta astrofísica, mas também um laboratório para explorar as leis fundamentais da física.

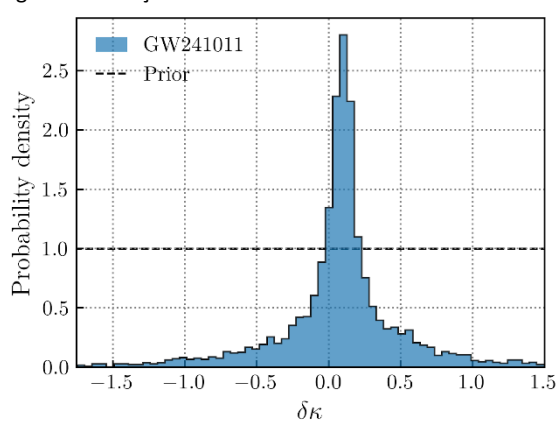


Figura 4: (Adaptada da Figura 9 da nossa publicação.) A diferença face à previsão da Relatividade Geral para o momento quadrupolar induzido pelo spin do buraco negro primário de GW241011. A diferença é compatível com zero, indicando que o evento está de acordo com a teoria de Einstein.

#### PARA SABER MAIS:

Visita as nossas <u>www.ligo.org</u> páginas web: <u>www.virgo-gw.eu</u>

gwcenter.icrr.u-tokyo.ac.jp/en/

Lê uma pré-impressão de acesso livre do artigo científico <u>aqui</u> ou no <u>arxiv</u>. A versão publicada do artigo está disponível <u>aqui</u>.

Divulgação dos dados pelo Gravitational-Wave Open Science Center:

Dados do GW241011: <a href="https://doi.org/10.7935/3drz-8m81">https://doi.org/10.7935/3drz-8m81</a>
Dados do GW241110: <a href="https://doi.org/10.7935/46xh-t016">https://doi.org/10.7935/46xh-t016</a>

Traduzido para o português por Tiago Fernandes e revisto por Inês Rainho a partir da versão original em inglês disponível <u>aqui</u>.

Versão original escrita por Shanika Galaudage e Ish Gupta.